

บทที่ 2

เอกสารและงานวิจัยที่เกี่ยวข้อง

2.1 ข้าวโพดหวาน

2.1.1 ข้อมูลทั่วไป

ข้าวโพดหวาน (*Zea mays saccharata*) เป็นพืชเศรษฐกิจที่สามารถบริโภคในลักษณะฝักสดหรือแปรรูปโดยการบรรจุกระป๋องหรือภาชนะปิดสนิทในรูปของข้าวโพดหั่งฝัก (corn on the cob) ข้าวโพดตัดเมล็ด (whole kernel) และครีมข้าวโพด (cream style corn) (นนท์, 2549) ในช่วงปี พ.ศ. 2550 - 2551 ประเทศไทยส่งออกสินค้าในกลุ่มผักกระป๋องและแปรรูปรวมกันกว่า 566,500 ตัน คิดเป็นมูลค่า 19,660 ล้านบาท ในจำนวนนี้เป็นผลิตภัณฑ์ข้าวโพดหวานบรรจุกระป๋องและแปรรูปถึง 304,653 ตัน คิดเป็นมูลค่า 6,100 ล้านบาท หรือเท่ากับร้อยละ 31.03 ของมูลค่าส่งออกหั่งหมัดในกลุ่มผักกระป๋องและแปรรูป (กรมเศรษฐกิจการพาณิชย์, 2552) ประเทศไทยที่ผลิตข้าวโพดหวานรายใหญ่ของโลกคือ สหรัฐอเมริกา ฝรั่งเศส สังกานี เบลเยียม แคนาดา อิตาลี ไทยและจีน ส่วนประเทศไทยที่ส่งออกผลิตภัณฑ์ข้าวโพดหวานบรรจุกระป๋องมากที่สุดในตลาดโลก ปี พ.ศ. 2546 คือ สังกานี (ร้อยละ 34) สหรัฐอเมริกา (ร้อยละ 33) และไทย (ร้อยละ 20) ตามลำดับ (สถาบันเพื่อผลผลิตแห่งชาติ, 2548; USDA, 2009) ทางด้านราคาข้าวโพดหวานมีความผันแปรค่อนข้างสูงขึ้นอยู่กับสายพันธุ์ ดังแสดงในตารางที่ 2.1

Çetinkol (1989) รายงานว่าข้าวโพดหวานมีองค์ประกอบเป็นคาร์โบไฮเดรตร้อยละ 22.1 ไขมันร้อยละ 1.0 โปรตีนร้อยละ 0.34 โพแทสเซียมร้อยละ 0.28 และแคลเซียมร้อยละ 0.003 กิโลกรัมกับการศึกษาของ Raroengwichit *et al.* (1999) ที่ระบุว่าข้าวโพดหวานประกอบด้วยคาร์โบไฮเดรตร้อยละ 21.1 โปรตีนร้อยละ 3.4 ไขมันร้อยละ 1.0 และเกลือร้อยละ 0.7

สุวนานา (2548) ศึกษาการผลิตสูตรอาหารจากเศษเมล็ดข้าวโพดเหลือทิ้งจากการบวนการผลิตข้าวโพดหวานบรรจุกระป๋อง เนื่องจากเศษเมล็ดข้าวโพดมีปริมาณคาร์โบไฮเดรตถึงร้อยละ 17.87 ± 0.29 และน้ำตาลรีดิวช์ร้อยละ 1.62 ± 0.06 และทำการย่อยอย่างเชิงลึกโดยใช้มีทายการค้า 2 ชนิด คือ Termamyl SC และ AMG 300 L และจึงหมักด้วยยีสต์ทางการค้า คือ Fermivin PDM หรือ V1116 หรือ Bourgoblanck ที่อุณหภูมิห้อง เป็นระยะเวลา 6 วัน ผลการศึกษาพบผลก่อชล์ไม่เกินร้อยละ 4.00 ± 0.29 แต่เมื่อนำไปกลั่นเพื่อปรับเป็นสูตรอาหาร ได้ผลก่อชล์ในระดับต่ำเพียงร้อยละ

ตารางที่ 2.1 ราคาข้าวโพดหวานตลาดสีมุนเมือง กรุงเทพฯ ณ วันที่ 5 มิถุนายน พ.ศ.2552

ชื่อทางการค้าของข้าวโพดหวาน	ราคาเฉลี่ย (บาท/ฟัก)
ไฮบริดเบอร์ 1	3.50
ไฮบริดเบอร์ 2	2.00
A5 เบอร์ 1	3.00
A5 เบอร์ 2	1.80
ศรแครงเบอร์ 1	2.50
ศรแครงเบอร์ 2	1.80
มันปูเบอร์ 1	1.50
มันปูเบอร์ 2	1.20

ที่มา: กรมส่งเสริมการเกษตร (2552)

2.1.2 กระบวนการผลิตข้าวโพดหวานบรรจุกระป๋อง

กระบวนการผลิตข้าวโพดหวานบรรจุกระป๋องขององค์กร โรงพยาบาลมีขั้นตอนคล้ายคลึงกัน ดังที่ไว้ในภาพที่ 2.1 และมีรายละเอียดขั้นตอนการผลิตข้าวโพดหวานบรรจุกระป๋อง (นนท์, 2549) ดังนี้

2.1.2.1 การรับวัตถุคุณภาพข้าวโพดหวานและตรวจสอบคุณภาพ

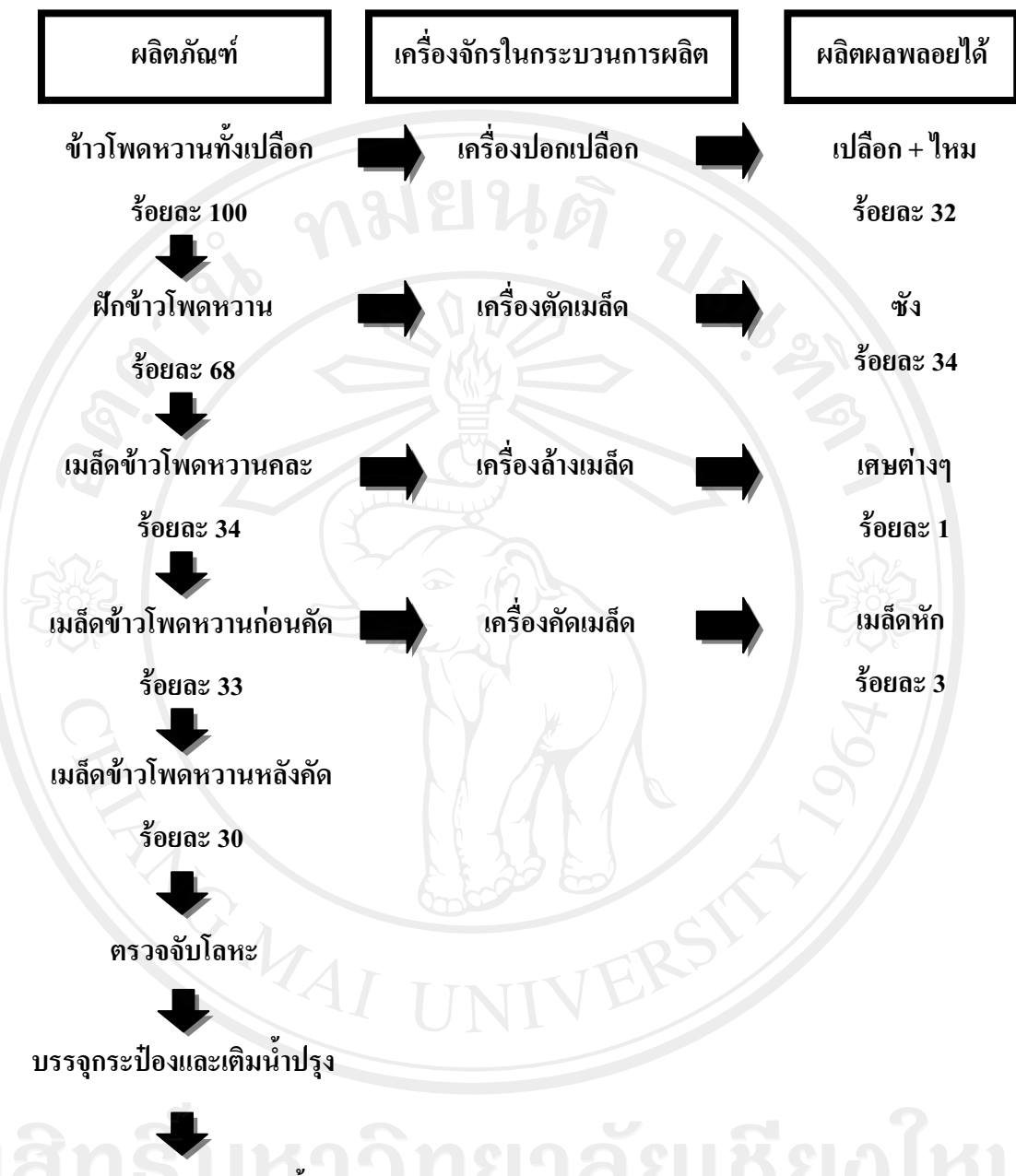
วัตถุคุณภาพข้าวโพดหวานจะถูกคัดแยกฝักที่มีตำหนิ เช่น ฝกอ่อน ฝกแก่ ฝกที่แมลงเจาะ และฝักที่ไม่ได้ขนาด ซึ่งไม่สามารถนำไปผลิตได้ แยกไปทิ้ง

2.1.2.2 การปอกเปลือกข้าวโพด

นำเส้นใยฝักข้าวโพดเข้าเครื่องปอกเปลือก (husker) เพื่อแยกเอาเปลือกออก ฝักข้าวโพดที่ยังปอกเปลือกไม่หมด จะถูกนำไปปอกด้วยพนักงานอีกครั้ง

2.1.2.3 การตัดเมล็ดข้าวโพด

ข้าวโพดที่ผ่านการปอกเปลือกจะเข้าสู่ขั้นตอนการตัดเมล็ดข้าวโพดออกจากชั้งโดยเครื่องตัดเมล็ด (corn cutter) โดยฝักข้าวโพดจะผ่านไปตามสายพานลำเลียง โดยนำด้านปลายฝักข้าวโพดเข้าสู่เครื่องตัดเมล็ดด้วยพนักงาน จากนั้นเครื่องจะตัดเมล็ดและแยกซังข้าวโพดออกทางด้านล่างของตัวเครื่อง



ภาพที่ 2.1 การใช้ประโยชน์จากข้าวโพดหวานในกระบวนการแปรรูปข้าวโพดหวานบรรจุกระป๋อง
ที่มา: ปรับปรุงจาก เคลิมฉัตร (2545) และนนท์ (2549)

2.1.2.4 การล้างเมล็ดข้าวโพด

หลังการร่อนหอยาน เมล็ดข้าวโพดจะถูกล้างด้วยเครื่องล้างเมล็ด (floatation cleaner) ซึ่งเครื่องจะทำการแยกเศษเมล็ดแตก และเส้นไหมอกโดยอาศัยหลักการลอยตัว ทั้งนี้เส้นไหมที่มีน้ำหนักเบากว่าเมล็ดข้าวโพดจะลอยอยู่บนผิวน้ำและแยกออกจากภายน้ำหลังส่วนเมล็ดข้าวโพดจะตกลงสู่ด้านล่างของเครื่องล้างเมล็ด

2.1.2.5 การร่อนเมล็ดข้าวโพดด้วยตะแกรงร่อนละเอียดหรือการคัดเมล็ด

เพื่อคัดตัวหินโดยผ่านตะแกรงร่อนละเอียด ตำแหน่งที่พ่น ได้แก่ เมล็ดที่มีขนาดเล็กหรือแตกออกเป็นเศษเล็กเศษน้อย จากนั้นเมล็ดข้าวโพดจะถูกลำเลียงไปตามสายพานเพื่อรอการบรรจุกระป๋อง

2.1.2.6 การตรวจจับโลหะ

เมล็ดข้าวโพดถูกลำเลียงเข้าสู่เครื่องตรวจจับโลหะ (metal detector) เพื่อกำจัดเศษโลหะที่ประปนมากับเมล็ดข้าวโพด ก่อนจะถูกคัดตำแหน่งครั้งสุดท้ายก่อนการบรรจุโดยพนักงานตำแหน่งที่คัดออก ได้แก่ เส้นไหม เมล็ดเศษเล็กและเมล็ดแตก รวมถึงเม็ดเสียที่เหลืออยู่

2.1.2.7 การบรรจุเมล็ดข้าวโพดลงกระป๋อง

บรรจุเมล็ดข้าวโพดลงกระป๋องตามขนาดกระป๋อง ที่ถูกลำเลียงจากคลังสินค้าผ่านรางปล่อยกระป๋อง โดยระหว่างการลำเลียงจะมีการฉีดพ่นน้ำเพื่อทำความสะอาดกระป๋องในระหว่างการบรรจุ โดยมีพนักงานคอยสูบชั่งน้ำหนักเพื่อให้ได้น้ำหนักตามที่ต้องการ

2.1.2.8 การเติมน้ำปรุง

นำปรุงมีส่วนผสมของเกลือ น้ำตาล และน้ำตามอัตราส่วนที่กำหนด โดยนำปรุงที่เตรียมไว้จะถูกปั๊มจากหม้อเตรียมส่วนผสมเข้าสู่หม้อพักน้ำปรุง ซึ่งมีการให้ความร้อนเพื่อเพิ่มอุณหภูมิให้กับน้ำปรุง อุณหภูมิของน้ำปรุงประมาณ 90 - 95 องศาเซลเซียส

2.1.2.9 การไล่อากาศ ปิดฝาและฆ่าเชื้อ

กระป๋องที่บรรจุเมล็ดข้าวโพดจะถูกลำเลียงเข้าสู่ร่างไล่อากาศ และเข้าสู่เครื่องปิดฝาอัตโนมัติ ตามลำดับ จากนั้นจึงนำกระป๋องเข้าสู่หม้อนึ่งฆ่าเชื้อ (retort) โดยควบคุมระยะเวลาอุณหภูมิและความดันตามความเหมาะสมสมของกระป๋องแต่ละขนาด นอกจากนี้ ธนະบุลย์ (2536) รายงานว่าเวลาและอุณหภูมิที่เหมาะสม สำหรับการแปรรูปผลิตภัณฑ์ข้าวโพดหวานบรรจุกระป๋อง ยังขึ้นกับสายพันธุ์ข้าวโพดหวาน เช่น ในการแปรรูปข้าวโพดหวานสายพันธุ์ shrunken-sh hybrid corn จะต้องลดเวลาและอุณหภูมิลงหรือต่ำกว่าข้าวโพดหวานธรรมชาติ เนื่องจากหากใช้ความร้อนที่สูงเกินไปจะก่อให้เกิดความผิดปกติในด้านสีและกลิ่น

2.1.2.10 การตรวจสอบคุณภาพและการเก็บรักษา

คัดแยกกระป่องที่มีลักษณะนูบ บวม และตึงออก สำหรับกระป่องที่ผ่านการตรวจสอบจะถูกลำเลียงผ่านกระบวนการทำให้เย็นและทึบให้แห้ง เช่นน้ำที่ผิวกระป่องด้วยผ้าแห้ง สะอาด ก่อนเช็ดอีกครั้งด้วยน้ำมันขาว (white oil) เพื่อป้องกันสนิม จัดเรียงกระป่องและหุ้มพลาสติกเพื่อเก็บรักษา

2.2 รำข้าว

รำข้าว (bran) เป็นผลพลอยได้จากการสีข้าวที่มีอยู่มากและราคาถูก หากคำนวณน้ำหนักรำข้าวเทียบกับน้ำหนักข้าวเปลือกคิดเป็นร้อยละ 8 - 11 (เครื่องวัดยีน, 2536) ทั้งนี้ในฤดูกาลผลิตข้าว 2551/2552 ทั่วโลกมีผลผลิตข้าวเปลือกประมาณ 665 ล้านตัน หรือคิดเป็นรำข้าว 53 – 73 ล้านตัน (กรมการข้าว, 2552) รำข้าวแบ่งได้หลายชนิด เช่น รำധามมีส่วนของเปลือกนอกติดกับเมล็ดข้าว ชมูกข้าว (germ) ปลายข้าว (broken rice) เมล็ดข้าว (endosperm) และอาจมีส่วนของเปลือก (husk) ป่นบ้าง มีเยื่อไชและซิลิกาต่อเนื่องซึ่งสูง รำละเอียดประกอบด้วยเยื่อหุ้มเมล็ดข้าว (pericarp) ปลายข้าว และมีเปลือก ป่นเล็กน้อย ส่วนรำสกัดน้ำมันเป็นการที่ได้หลังการนำรำล้างเอียด หรือรำสุดไปสักดันน้ำมันด้วยสารเคมี ทำให้รำเดลละขนาดมีองค์ประกอบแตกต่างกัน ดังแสดงในตารางที่ 2.2

ตารางที่ 2.2 องค์ประกอบของรำในหน่วยร้อยละของน้ำหนักแห้ง

ชนิด	ความชื้น (ร้อยละ)	องค์ประกอบ (ร้อยละ)				
		โปรตีน	ไขมัน	เส้นใย	เต้า	แป้งรวม
รำละเอียด	9.66	14.46	24.41	11.30	11.03	N/a
รำละเอียด	8.98	13.82	19.70	6.42	9.51	50.55
รำละเอียด	9.56	13.51	15.16	4.96	9.42	56.93
รำละเอียด	9.00	14.18	14.29	12.53	N/a	N/a
รำข้าวขาว	10.00	13.56	12.22	4.56	N/a	N/a
รำสกัดน้ำมัน	9.00	15.39	1.65	14.18	N/a	N/a
รำധาม	N/a	7.00	10.00	13.00	N/a	N/a

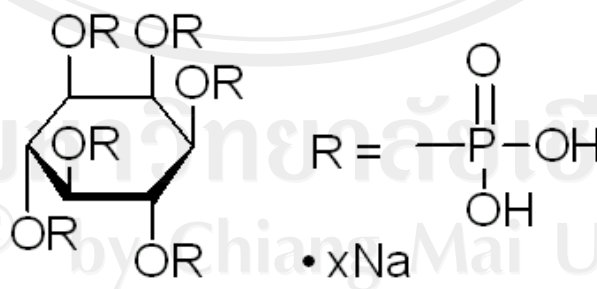
N/a หมายถึง ไม่แจ้งข้อมูล

ที่มา: สุรัสสาน และคณะ (2552); ศรีสกุล และคณะ (2546)

2.3 กรดไฟติกและเอนไซม์ไฟเตส

2.3.1 กรดไฟติก (phytic acid)

กรดไฟติก (inositol hexakisphosphate หรือ myo - inositol 1,2,3,4,5,6 hexakis dihydrogenphosphate) ประกอบด้วยกรดฟอสฟอริก 6 กลุ่มจับกับหมู่ไฮดรอกซิลของวงแหวน และกลุ่มโซล์ไนโตรฟิโนซิทอลด้วยพันธะเอสเทอร์ ในรูปปราศจากน้ำมีมวลโมเลกุล 660.04 กรัมต่อโมล ดังแสดงโครงสร้างร่วมกับเกลือโซเดียมในภาพที่ 2.2 พบรได้ในเซลล์สิ่งมีชีวิตที่มีเยื่อหุ้มนิวเคลียส (eukaryotic) พืชใช้กรดไฟติกเป็นแหล่งเก็บฟอสเฟตรวมถึงสารตั้งต้นสำหรับการผลิตสารประกอบฟอสเฟตชนิดอื่นๆ ในเยสต์ กรดไฟติกทำหน้าที่ร่วมกับโปรตีน Gle1 ในการส่ง mRNA ออกจากนิวเคลียส (Sigma, 2008d) Jaw - Shioi et al. (2000) อธิบายว่าแหล่งของฟอสฟอรัสกว่าร้อยละ 75 ของชั้นพืช พืชนำมัน และพืชตระกูลถั่วอยู่ในรูปของกรดไฟติกมีบทบาทสำคัญในระบบพักตัวและระยะการคงของเมล็ดพืช โดยฟอสฟอรัสจะถูกปลดปล่อยออกมาระหว่างกระบวนการงอกและนำไปใช้ในการผลิตโมเลกุลพลังงาน adenosine triphosphate (ATP) ซึ่งสัตว์กระเพาะเดี่ยว เช่น สุกร ปลาและสัตว์ปีก ไม่สามารถนำฟอสฟอรัสในกรดไฟติกไปใช้ได้ เพราะไม่มีเอนไซม์ไฟเตสในระบบย่อยอาหาร ยิ่งไปกว่านั้นกรดไฟติกยังสามารถจับตัวกับโปรตีนและไอออนโลหะอย่างแคบเชิง เหล็ก สังกะสี แมกนีเซียม แมงกานีส ทองแดง และโมลิบดีนัม รวมไปถึงแป้ง เมื่อกรดไฟติกที่สัตว์เหล่านี้ย่อยไม่ได้ถูกขับถ่ายออกมายังกลุ่มทรัพย์ในดินย่อยสลายได้ฟอสฟอรัสในรูปของฟอสเฟตซึ่งเมื่อละลายไปจะสมอยู่ในแหล่งน้ำเป็นปริมาณมากจะทำให้แหล่งน้ำเน่าเสียเนื่องจากปรากฏการณ์น้ำเปลี่ยนสี (eutrophication)



ภาพที่ 2.2 โซเดียมไฟเตต

ที่มา: Sigma (2008d)

2.3.2 เอนไซม์ไฟเตส (phytase enzyme)

2.3.2.1 สมบัติของเอนไซม์

เอนไซม์ไฟเตสจัดอยู่ในกลุ่มไฮโดรคลอเรต (hydrolytic enzyme) ที่สามารถย่อยพันธะเอสเทอร์ของฟอสฟอรัสในกรดไฟติกโดยเริ่มจากการบอนด์แทนงที่ 3 และ 6 ตามลำดับ Dixon and Webb (1979) จำแนกเอนไซม์ไฟเตสได้สองชนิด คือ 3-phytase (EC 3.1.3.8) และ 6-phytase (EC 3.1.3.26) ชนิดหลังสามารถย่อยกรดไฟติกได้ฟอสเฟตอย่างสมบูรณ์ในขณะที่ชนิดแรกจะไม่ย่อยกรดไฟติกที่มีห่วงฟอสฟอรัสเหลืออยู่เพียงตัวเดียว (phosphomonoester) แหล่งของเอนไซม์ไฟเตสในพืชพบได้ในเมล็ดและละอองเกสร แต่การผลิตเอนไซม์ไฟเตสจากพืชไม่คุ้มค่าในเชิงพาณิชย์เนื่องจากมีค่าใช้จ่ายสูงและใช้เวลานาน จึงนิยมผลิตเอนไซม์โดยใช้จุลินทรีย์มากกว่า (Jaw - Shiow *et al.*, 2000)

Cromwell *et al.* (2004) เปรียบเทียบอาหารเลี้ยงสุกรสูตรปกติที่มีส่วนผสมจากข้าวโพด กากถั่วเหลือง และฟอสฟอรัสในรูปไಡแคลเซียมฟอสเฟต ร้อยละ 0.2 โดยมีฟอสฟอรัสทั้งหมดครึ่งร้อยละ 0.59 ซึ่งเป็นระดับที่สถาบัน National Research Council (NRC) ประเทศสหรัฐอเมริกาแนะนำ เปรียบเทียบกับอาหารเลี้ยงสุกรที่มีส่วนผสมเดิม แต่ลดปริมาณฟอสฟอรัสในรูปไಡแคลเซียมฟอสเฟตลงเหลือร้อยละ 0.1 ให้ร่วมกับเอนไซม์ไฟเตสที่มีค่ากิจกรรมการทำงานเอนไซม์ 750 หน่วยต่อกิโลกรัม พนว่าสุกรทั้งสองกลุ่มนี้ความแข็งแรงของกระดูก และการเจริญเติบโตไม่แตกต่างกันอย่างมีนัยสำคัญทางสถิติที่ระดับความเชื่อมั่นร้อยละ 95 ($p > 0.05$) แต่暮らของสุกรที่ได้รับอาหารที่มีเอนไซม์ไฟเตสมีปริมาณฟอสฟอรัสดลงร้อยละ 18

Schlemmer *et al.* (2001) ศึกษาถึงผลของเอนไซม์ไฟเตสที่ได้จากพืช เชื้อรา และจุลินทรีย์ต่อการย่อยสลายไฟเตตในสุกรและปริมาณฟอสฟอรัสที่พบในมูลสุกร โดยสุกรจะได้รับอาหารเป็นข้าวบาร์เลี้ยง ข้าวสาลี ข้าวไร่น แล้วถั่วเหลือง อาหารที่ให้ประกอบด้วยไฟเตต 1.88 กรัมต่อกิโลกรัม พนว่าไฟเตตในมูลสุกรลดลงจากเดิม 16.8 กรัมต่อวัน เหลือ 0.4 กรัมต่อวัน และเมื่อให้อาหารที่ไม่ผ่านกระบวนการหรือผ่านกระบวนการเอ็กซ์ทรูตที่อุณหภูมิ 120 องศาเซลเซียส อย่างใดอย่างหนึ่งแก่สุกร ซึ่งกระบวนการเอ็กซ์ทรูตเป็นการทำลายกิจกรรมการทำงานของเอนไซม์ไฟเตส ด้วยความร้อน ได้ถึงร้อยละ 99.5 พนว่าสุกรที่ได้รับอาหารที่ไม่ผ่านกระบวนการเอ็กซ์ทรูตจะมีฟอสฟอรัสในมูลสุกร 5.0 กรัมต่อวัน จากที่ได้รับ 9.2 กรัมต่อวัน หรือย่อยได้ร้อยละ 45.7 ในขณะที่สุกรที่ได้รับอาหารที่ผ่านกระบวนการเอ็กซ์ทรูตมีฟอสฟอรัสในมูลสุกร 6.7 กรัมต่อวัน จากที่ได้รับ 9.5 กรัมต่อวัน หรือย่อยได้เพียงร้อยละ 29.5

Jaw - Shiow *et al.* (2000) สรุปว่าสัตว์จะ吸收เดียวที่กินอาหารผสมเอนไซม์ไฟเตสจะทำให้คอมเพล็กซ์ของกรดไฟติกเกิดการเปลี่ยนแปลง ทำให้มีแหล่งอาหารฟอสฟอรัส

แคลเซียม และโปรตีนเพิ่มเติม สอดคล้องกับผลการทดลองของ Ward (2006) ที่ระบุว่าการเติมเอนไซม์ไฟเตส ลงในอาหารสัตว์จะทำให้สัตว์นำฟอสฟอรัสไปใช้ได้เพิ่มขึ้นถึงร้อยละ 20 - 40 และทำให้มูลสัตว์มีปริมาณฟอสฟอรัสลดลงร้อยละ 73

2.3.2.2 การผลิตเอนไซม์ไฟเตสโดยใช้เชื้อจุลินทรีย์

จุลินทรีย์ที่มีความสามารถในการผลิตเอนไซม์ไฟเตส ได้แก่ แบคทีเรียในกลุ่มของ *Bacillus subtilis* และ *Escherichia coli* ยีสต์ในกลุ่มของ *Saccharomyces cerevisiae* และ *Schwannoiozymes castellii* และเชื้อรานในกลุ่มของ *Aspergillus niger*, *A. oryzae* และ *A. ficuum* ดังแสดงสภาวะที่เหมาะสมในการผลิตเอนไซม์ไฟเตสในตารางที่ 2.3 อย่างไรก็ตามไม่นิยมใช้เชื้อยีสต์ในการผลิตเอนไซม์ไฟเตส เนื่องจากยีสต์จะเก็บเอนไซม์ไว้ภายในเซลล์ทำให้ต้องเพิ่มขั้นตอนในการสกัดเอนไซม์ออกจากเซลล์ซึ่งมีความยุ่งยาก ตรงข้ามกับ *A. niger* NRRL 3135 ที่จะปลดปล่อยเอนไซม์ไฟเตสที่ผลิตได้ออกนอกเซลล์จึงได้รับความนิยมมากกว่า ส่วนการผลิตโดยใช้เชื้อรากาจให้ระยะเวลายาวนานถึง 10 วัน ถึงจะผลิตเอนไซม์ไฟเตสที่มีค่ากิจกรรมการทำงานในระดับสูง (Jaw - Shiow et al., 2000)

Krishnan et al. (2006) ทำการศึกษาเปรียบเทียบการผลิตเอนไซม์ไฟเตสโดยใช้รำข้าวสาลีและการหลังการสกัดน้ำมันชนิดต่างๆ เป็นอาหารเพาะเลี้ยงเชื้อราก *Mucor racemosus* NRRL 1994 พนว่าการที่ได้หลังการสกัดน้ำมันเป็นแหล่งอาหารคาร์บอนที่ดีที่สุดสำหรับการสังเคราะห์ไฟเตส มีค่ากิจกรรมเอนไซม์ 30.6 หน่วยต่อกรัมแห้ง และการใช้รำข้าวสาลีผสมกากาในสัดส่วน 1 ต่อ 1 มีค่ากิจกรรมเอนไซม์มากกว่าคือ 32.2 หน่วยต่อกรัมเดชิวนาที และหากทำการเพาะเลี้ยงเชื้อรากในสภาวะที่เหมาะสม โดยใช้รำข้าวสาลีผสมกากาจะผลิตเอนไซม์ไฟเตสได้ 44.5 หน่วยต่อกรัมเดชิวนาที หรือเพิ่มขึ้น 4 เท่า เมื่อเปรียบเทียบกับการใช้รำข้าวสาลีเพียงอย่างเดียว

Li et al. (2008) ศึกษาการผลิตเอนไซม์ไฟเตสโดยใช้เชื้อยีสต์ *Kodamaea ohmeri* BG3 ด้วยอาหารเลี้ยงเชื้อจากข้าวโอ๊ต พนว่าเชื้อยีสต์จะสามารถผลิตเอนไซม์ไฟเตสได้สูงสุดเมื่อใช้อาหารเลี้ยงเชื้อที่มีสัดส่วนของข้าวโอ๊ตต่อร้อยละ 1 แอมโมเนียมซัลเฟตต่อร้อยละ 2.3 กรัมโกรสต่อร้อยละ 2.0 และโซเดียมคลอไรด์ต่อร้อยละ 2.0 ที่ pH เริ่มต้น 6.3 และเมื่อใช้สภาวะการเขย่าที่เหมาะสมพบว่ากิจกรรมเอนไซม์ไฟเตสจะเพิ่มขึ้นจาก 62 หน่วยต่อมิลลิลิตร เป็น 575.5 หน่วยต่อมิลลิลิตร หรือเพิ่มขึ้น 9 เท่า

ตารางที่ 2.3 จุลินทรีย์ที่สามารถผลิตเอนไซม์ไฟเตส

ชื่อจุลินทรีย์	สภาพที่เหมาะสม		K_m (mmol/L)	เอกสารอ้างอิง
	pH	อุณหภูมิ (°C)		
แบคทีเรีย				
<i>B. subtilis</i>	6.0-6.5	60	0.500	Kim <i>et al.</i> , 1998
				Kerovuo <i>et al.</i> , 2000
<i>Citrobacter braakii</i>	4.0	50	0.460	Kim <i>et al.</i> , 2003
<i>E. coli</i>	4.5	55-60	0.130	Greiner <i>et al.</i> , 1993
<i>Klebsiella</i> sp.	6.0	37	-	Shah and Parekh, 1990
<i>K. terrigena</i>	5.0	58	0.300	Greiner <i>et al.</i> , 1997
<i>Lactobacillus sanfrancesis</i>	4.0	45	-	De Angelis <i>et al.</i> , 2003
ยีสต์				
<i>Pichia pastoris</i>	2.5, 5.5	60	-	Han <i>et al.</i> , 1999
<i>Schwanniomyces castellii</i>	4.4	77	0.040	Segueilha <i>et al.</i> , 1992
รา				
<i>A. carbonarius</i>	4.7	53	0.350	Al Asheh and Duvnjak, 1994
<i>A. ficuum</i> (phy A)	2.5, 5.0	58	0.027	Ullah and Gibson, 1987
<i>A. ficuum</i> (phy B)	2.5	63	0.103	Ehrlich <i>et al.</i> , 1993
				Ullah <i>et al.</i> , 2003
<i>A. fumigatus</i>	4.0-5.0	58-70	-	Mullaney <i>et al.</i> , 2000
<i>A. niger</i> ATCC 9142	5.0	65	0.100	Casey and Walsh, 2003
<i>A. niger</i> SK-57	2.5, 5.5	50	0.019	Nagashima <i>et al.</i> , 1999
<i>A. oryzae</i>	5.5	50	0.330	Ullah and Gibson, 1987
				Shimizu, 1993

ที่มา: ปรับปรุงจาก Purva and Uttam (2004)

ค่า K_M (Michaelis-Menten constant) หรือ ค่าคงที่การยึดจับ (affinity constant) ระหว่างเอนไซม์และสารตั้งต้น (complex) ซึ่งเป็นคุณสมบัติเฉพาะตัวของเอนไซม์แต่ละชนิดที่พิเศษ อุณหภูมิ และสภาวะการเกิดปฏิกิริยาหนึ่งๆ ทั้งนี้เอนไซม์ชนิดเดียวกันแต่มาจากสิ่งมีชีวิตเดียวกันอาจมีค่า K_M ที่ต่างกันได้ เมื่อพิจารณาการยึดจับกันระหว่างสารตั้งต้นและเอนไซม์จะพบว่าค่า K_M ต่ำแสดงว่าเอนไซม์จับสารตั้งต้นได้ดี

จากความสัมพันธ์ในสมการด้านล่าง ค่า K_M ได้จากการศึกษาจนพอกศาสตร์ของเอนไซม์ในสภาวะพิเศษคงที่ และวัดอัตราการเกิดปฏิกิริยาจากอัตราการเกิดปฏิกิริยาเริ่มต้นเพื่อหลีกเลี่ยงปัจจัยที่ส่งผลกระทบต่อข้อมูลจนนี้ เช่น การเสื่อมสภาพของเอนไซม์หลังเริ่มปฏิกิริยาหรือการที่เอนไซม์ถูกยับยั้งโดยสารผลิตภัณฑ์ที่เกิดขึ้น (Bisswanger, 2008)

$$v = \frac{V[S]}{K_M + [S]}$$

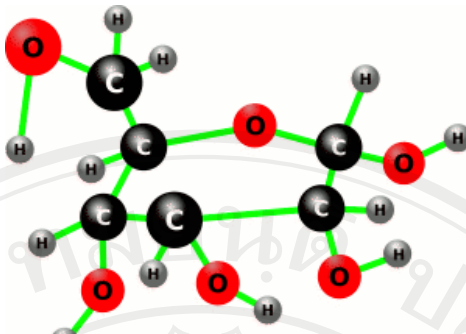
เมื่อ v หมายถึงอัตราการเกิดปฏิกิริยาเริ่มต้น มีหน่วยเป็นความเข้มข้นต่อเวลา
 V หมายถึงอัตราการเกิดปฏิกิริยาสูงสุดที่ความเข้มข้นสารตั้งต้น ณ อินฟินิตี
 $[S]$ หมายถึงความเข้มข้นของสารตั้งต้น

2.4 น้ำตาลและเอนไซม์ที่เกี่ยวข้องในการย่อยสลายน้ำตาล

2.4.1 น้ำตาล

2.4.1.1 กลูโคส (glucose)

กลูโคสเป็นน้ำตาลที่มีคาร์บอน 6 อะตอม (hexose) (ภาพที่ 2.3) พบร้าได้ทั่วไปในรูปอิสระ เป็นองค์ประกอบในโมเลกุลของน้ำตาลโมเลกุลคู่ (disaccharide) เช่น молโทส (maltose) ซูโครัส (sucrose) แลกโทส (lactose) และแรฟฟิโนส (raffinose) และน้ำตาลโมเลกุลซับซ้อน (polysaccharide) เช่น เดกซ์ทริน (dextrin) สตาร์ช (starch) เชลลูโลส (cellulose) และไกโอลิโคเจน (glycogen) มีสมบัติคล้ายในน้ำและแอลกอฮอล์ได้ดีแต่ไม่ละลายในอีเทอร์ (นิธิยา, 2549)



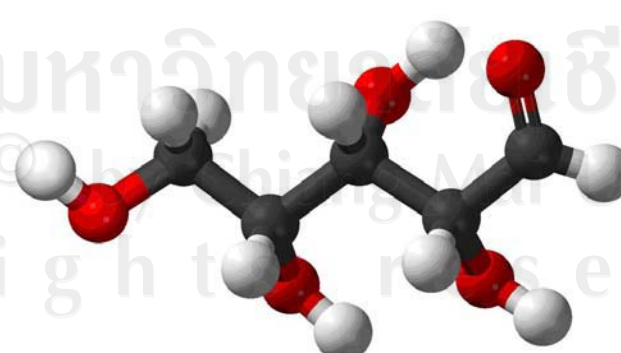
ภาพที่ 2.3 โครงสร้างโมเลกุลน้ำตาลกลูโคส

ที่มา: Atkins (2009)

2.4.1.2 เพนโทส (pentose)

น้ำตาลเพนโทสเป็นโมโนแซคคาไรด์ มีคาร์บอน 5 อะตอม ประกอบด้วยหมู่ฟังก์ชันอัลดีไฮด์หรือคิโตนอย่างใดอย่างหนึ่ง เพนโทสที่มีหมู่ฟังก์ชันอัลดีไฮด์หรือคิโตน ได้แก่ ไซโลส (xylose) อาราบินอส (arabinose) ไรโบส (ribose) และไอลิโซส (lyxose) ส่วนเพนโทสที่มีหมู่ฟังก์ชันคิโตนหรือคิโตเพนโทส (ketopentose) ได้แก่ ไรบูลอส (ribulose) และไซลูโลส (xylulose) (นิธิยา, 2549) รายละเอียดของน้ำตาลเพนโทสที่สำคัญ มีดังต่อไปนี้

- ไซโลส (ภาพที่ 2.4) พบริเวณในโลเกลุลของไซแลน (xylan) ซึ่งเป็นสารน้ำตาลเพนโทสชนิดหนึ่งที่พบในซงข้าวโพด รำข้าวต่างๆ และผลไม้บางชนิด เช่น เชอร์รี่ ท้อ สาลี และพลัม

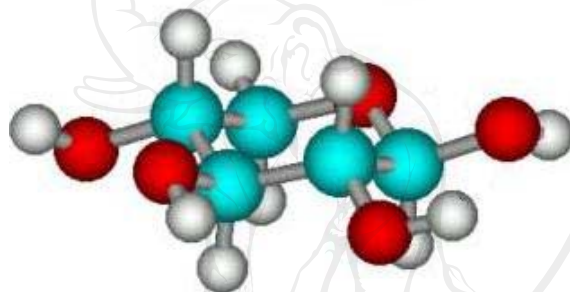


ภาพที่ 2.4 โครงสร้างโมเลกุลน้ำตาลไซโลส

ที่มา: Wikimedia (2009)

ทัศนีย์ (2533) ทดลองย่อยสลายเอมิเซลลูโลสในเปลือกข้าวโพดให้เป็นไซโลส โดยใช้อ่อนไซแลนส์ (xylanase) และเบต้าไซโลซิเดส (β -xylosidase) พบว่าความเข้มข้นของเปลือกข้าวโพดที่เหมาะสมคือร้อยละ 3 ของน้ำหนักเปลือกข้าวโพดต่อปริมาตร แต่การเพิ่มปริมาณเปลือกข้าวโพดทำให้ประสิทธิภาพการย่อยสลายพอลีแซคคาไรด์ (saccharification) ลดลง ในขณะที่การเพิ่มปริมาณอ่อนไซม์ไม่ทำให้ร้อยละของกระบวนการย่อยสลายพอลีแซคคาไรด์เพิ่มขึ้น แต่มีผลทำให้ปฏิกริยาสินสุดเร็วขึ้น

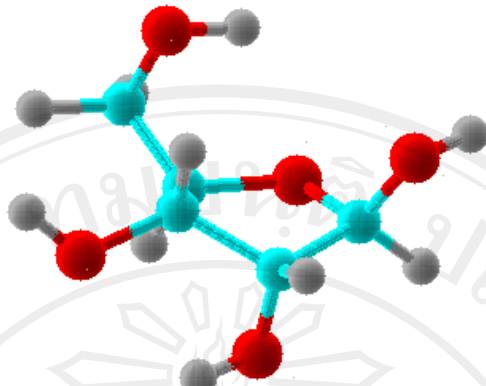
- อะราบิโนส พぶในองค์ประกอบในโมเลกุลของกัม (gum) เพกติน (pectin) มิวชิเลจ (mucilage) และเอมิเซลลูโลส (hemicellulose) เมื่อทำการย่อยสลายกัมอะราบิก (gum arabic) ด้วยกรดซัลฟิวริกเจือจางในน้ำจะได้น้ำตาลอาราบิโนส (ภาพที่ 2.5)



ภาพที่ 2.5 โครงสร้างโมเลกุลน้ำตาลอาราบิโนส

ที่มา: Mastin (2009)

- ไรโนส (ภาพที่ 2.6) เป็นองค์ประกอบในโมเลกุลของกรดนิวคลีอิก คือกรดไรโนนิวคลีอิก (ribonucleic acid) และโคเอนไซมนิวคลีโอไทด์ (coenzyme nucleotide) นอกจากนี้ยังเป็นองค์ประกอบในโมเลกุลของวิตามินบีสอง อนุพันธ์ที่สำคัญคือ 2 - ดีอโකซิไรโนส (2-deoxyribose) ซึ่งเป็นองค์ประกอบในโมเลกุลของกรดดีอโคไซไรโนนิวคลีอิก (deoxyribonucleic acid)

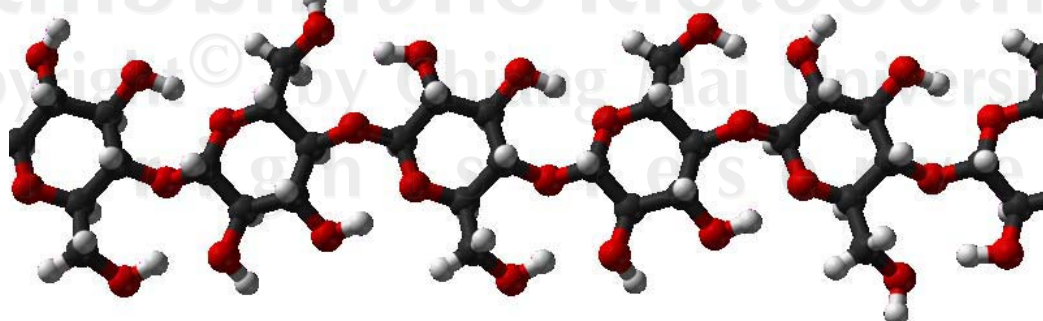


ภาพที่ 2.6 โครงสร้างโมเลกุลน้ำตาลไโรโนส

ที่มา: Fort (2008)

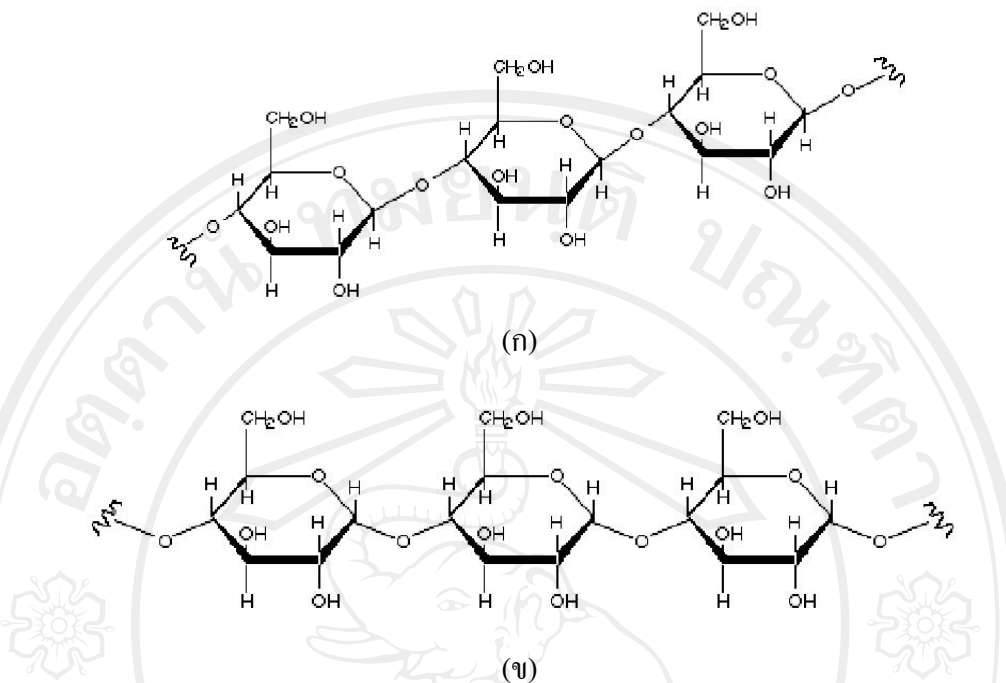
2.4.1.3 เชลลูโลส (cellulose)

เชลลูโลสเป็นไฮโรมโพลีแซคคาไรด์สายตรงยาวของน้ำตาลกลูโคส ไม่มีแขนง (ภาพที่ 2.7) และเป็นองค์ประกอบในผนังเซลล์ของพืชรวมกับไซแนน (xylan) และลิกนิน (lignin) เชลลูโลสเป็นคาร์บอนไฮเดรตที่มีสมบัติคล้ายน้ำได้น้อย เนื่องจากโมเลกุลของเชลลูโลสประกอบด้วยโมเลกุลน้ำตาลกลูโคสต่อ กันด้วยพันธะไกลโคไซด์ที่ตำแหน่ง β -D-(1, 4) แตกต่างจากโมเลกุลแป้งที่ต่อ กันด้วยพันธะไกลโคไซด์ที่ตำแหน่ง α -D-(1, 4) (ภาพที่ 2.8) โมเลกุลเชลลูโลสเกาะกันตามแนวราบด้วยพันธะไฮโดรเจนระหว่างหนูไฮดรอกซิล (-OH) ของโมเลกุลน้ำตาลกลูโคสที่เหลืออยู่ ทำให้มีโครงสร้างโมเลกุลเป็นโพลิคริสตัลไลน์ (polycrystalline) ที่ยึดเกาะกันเป็นเส้นใย มีความหนาแน่นมากจึงทนทานต่อการถูกไฮโดรไลซ์ และไม่ละลายน้ำ (นิธิยา, 2549)



ภาพที่ 2.7 โครงสร้างเชลลูโลส

ที่มา: Yoshiharu *et al.* (2002)



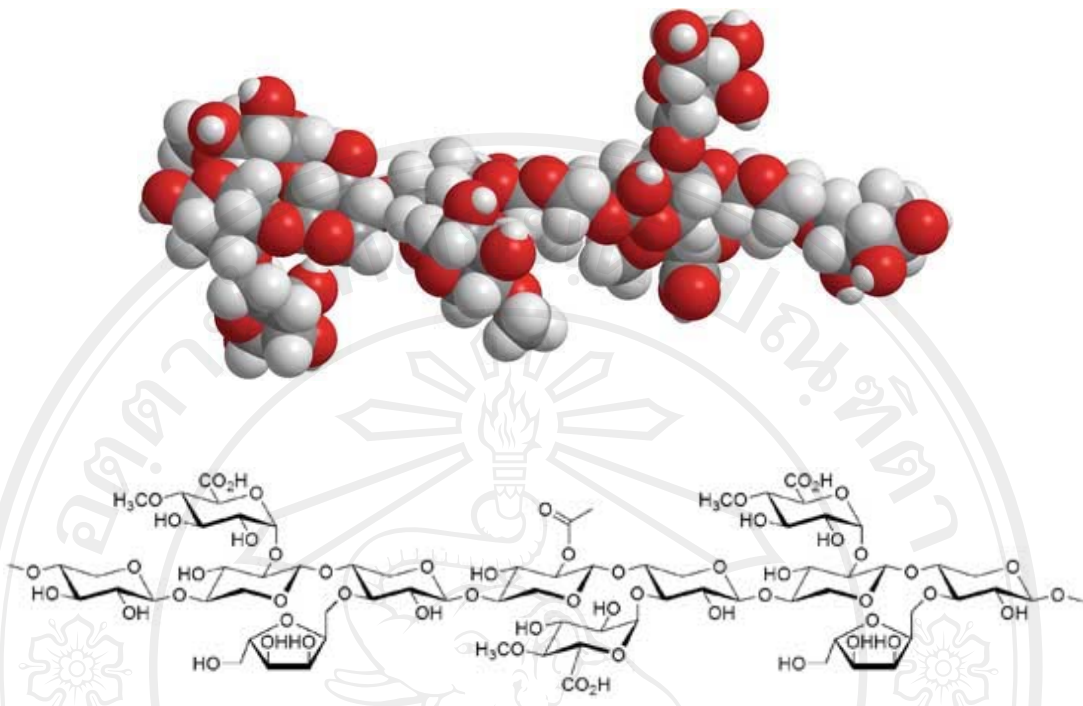
ภาพที่ 2.8 พันธะไกลโคไซด์ที่ตำแหน่ง (g) β -D-(1, 4) (h) α -D-(1, 4)

ที่มา: Alex et al. (2009); Larry and Chris (2009)

2.4.1.4 เอมิเซลลูโลส (hemicellulose)

ประกอบด้วยน้ำตาลโมเลกุลเดียว (monosaccharide) หลายชนิดในโมเลกุลเดียวกัน (ภาพที่ 2.9) สามารถถูกย่อยสลายได้ง่ายโดยสารละลายกรด ได้ผลผลิตเป็นโมเลกุลเดียวของน้ำตาลกลูโคส แม่นโนส ไซโลส และอะราบิโนส โดยทั่วไปพืชมีเอมิเซลลูโลสเป็นองค์ประกอบประมาณร้อยละ 10 - 30 (นิธิยา, 2549) ตัวอย่างเอมิเซลลูโลส เช่น

- กาแลคโตกลูโคแมนnan (galactoglucomannan) ประกอบด้วยน้ำตาล แม่นโนส กลูโคส และกาแลคโทส
- อะราบิโนกลู庫โรโนไซแลน (arabinoglucuronoxylan) ประกอบด้วยน้ำตาล ไซโลส กาแลคโทส และอะราบิโนส
- อะราบิโนกาแลคแทน (arabinogalactan) ประกอบด้วยน้ำตาลกาแลคโทส และอะราบิโนส
- กลู库โรโนไซแลน (glucuronoxylan) ประกอบด้วยน้ำตาลกลูโคสและไซโลส
- กลูโคแมนnan (glucomannan) ประกอบด้วยน้ำตาลกลูโคสและแม่นโนส



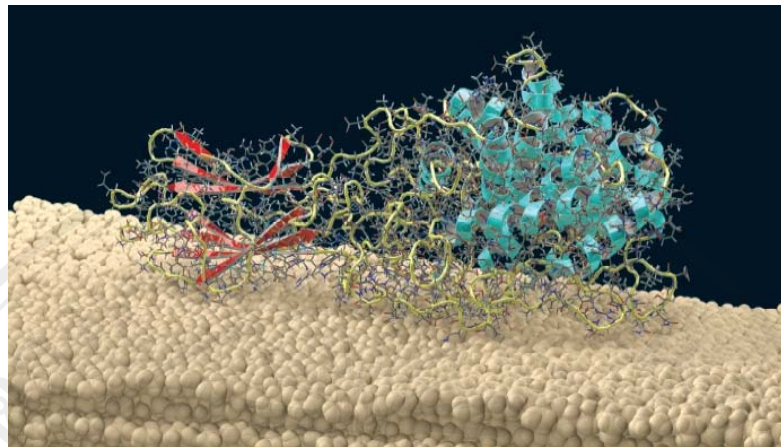
ภาพที่ 2.9 โครงสร้างไฮมิเซลลูโลส
ที่มา: PNNL (2008)

วิรักรอง (2548) ทดลองสกัดไฮมิเซลลูโลสจากเปลือก และเนื้อมะละกอด้วย โพแทสเซียมไฮดรอกไซด์ พบไฮมิเซลลูโลสในเปลือกและเนื้อคิดเป็นร้อยละ 17.27 และ 16.72 โดย นำหนัก ตามลำดับ โดยไฮมิเซลลูโลสจากมะละกอประกอบด้วยน้ำตาลกาแลกโทส กลูโคส ไซโลส แรมโนส (rhamnose) อะราบิโนส และกรดยูโรนิก (uronic acid)

2.4.2 เอนไซม์ที่เกี่ยวข้องในการย่อยสลายน้ำตาล

2.4.2.1 เชลลูเลส (cellulase)

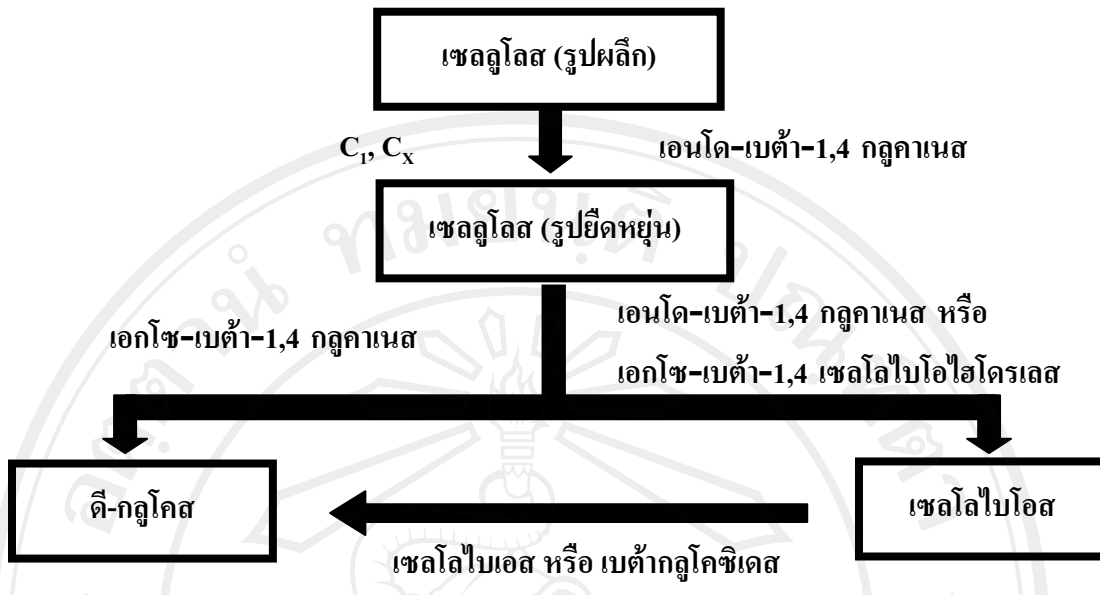
ปราลี (2543) ระบุว่าเชลลูเลสเป็นเอนไซม์ที่ย่อยสลายเชลลูโลสและอนุพันธ์ของเชลลูโลส เอนไซม์เชลลูเลสเป็นเอนไซม์สมประกอบด้วยเอนไซม์หลายชนิดทำงานร่วมกัน (ภาพที่ 2.10) คือ



ภาพที่ 2.10 โครงสร้างเซลลูเลส

ที่มา: SciDAC (2007)

- เอนไซม์ C₁ หรือ hydrogen bondase ทำให้พันธะไฮโดรเจนอ่อนลง (weakening) สำหรับเป็นสารตั้งต้นของเซลลูเลสสำดับถัดไป
- เอนไซม์ C_x หรือ β -1,4 glucanase ทำหน้าที่ย่อยสลายพันธะในเซลลูโลส หรืออนุพันธ์เซลลูโลสที่คลายนำได้ แต่ไม่สามารถย่อยสลายสารตั้งต้นที่มีโครงสร้างซับซ้อนได้ กล่าวคือสามารถย่อยสลายพันธะ β -1,4 ของสารตั้งต้นสังเคราะห์ เช่น การบักก์ซีเมชิลเซลลูโลส (CMC) หรือ ไฮดรอกซีเอชิลเซลลูโลส โดยอาจจัดแบ่งเอนไซม์ในกลุ่มนี้ได้ 2 ชนิด คือ
 - Endo- β -1,4 glucanases ย่อยสลายสายพอดีเมอร์ภายในสายอย่างอิสระ ได้ผลผลิตเป็นโอลิโกเมอร์ (oligomer) และกลูโคส
 - Exo- β -1,4 glucanases ย่อยสลายสายพอดีเมอร์จากปลายสายด้านไม่มีหมู่เรซิวเซ็กซ์เข้าไปอย่างมีรีบะบีบและมีการเปลี่ยนโครงรูปของผลผลิตจาก β - เป็น α -configuration ได้ผลผลิตเป็นเซลโลไอลิโอดีและกลูโคส
- เอนไซม์เบต้ากลูโคซิเดส (β -glucosidases) ทำงานคล้าย exo- β -1,4 glucanases มีสารตั้งต้นพื้นฐานเป็นพอดีเมอร์ของน้ำตาลกลูโคสที่มีจำนวนโมเลกุลน้ำตาลตั้งแต่ 2 (เซลโลไอลิโอดี, cellobiose) ถึง 6 หน่วย (เซลโลไฮกโซส, cellohexose) โดยอัตราเร็วในการย่อย สลายจะลดลงเมื่อความยาวสายพอดีเมอร์เพิ่มขึ้น ผลผลิตที่ได้คือกลูโคสที่มีโครงรูปเปลี่ยนจากเดิม ดังแสดงหน้าที่ของเอนไซม์เซลลูเลสในแต่ละกลุ่มในภาพที่ 2.11



ภาพที่ 2.11 การย่อยสลายเซลลูโลสคั่วย่อน ไซม์กกลุ่มเซลลูเลสทั้ง 4 กลุ่ม

ที่มา: ปราณี (2543)

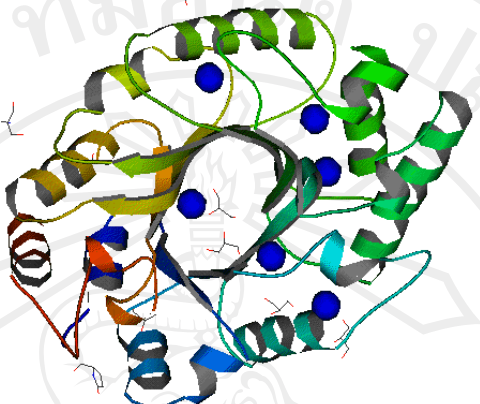
Mark *et al.* (2007) ทดลองย่อยเปลือกเกรปฟรุต (grapefruit) ด้วยเอนไซม์เซลลูเลส และ เพคตินเอนส (pectinase) ร่วมกับเอนไซม์เบต้ากูลูโคซิเดสเพื่อผลิตน้ำตาลที่ระดับ pH ต่างๆ ที่อุณหภูมิ 45 องศาเซลเซียส พบระดับเอนไซม์น้อยสุดที่ให้สัดส่วนความเข้มข้นน้ำตาลสูงสุด คือ เอนไซม์ ผสมระหว่างเพคตินเอนไซม์เซลลูเลสและเบต้ากูลูโคซิเดสที่ระดับ 5, 2 และ 2.1 มิลลิกรัมต่อกรัมเปลือกเกรปฟรุตแห้ง ตามลำดับ มีระดับ pH ที่เหมาะสมคือ 4.8 ได้สัดส่วนน้ำตาลกูลูโคสต่อเปลือกเกรปฟรุตแห้งร้อยละ 21.99

Chen and Jin (2006) ทำการศึกษาผลของเอกทานอลและการเติมเยสต์ต่อกิจกรรมเอนไซม์เซลลูเลสจากเชื้อ *Penicillium decumbens* และการย่อยสลายเซลลูโลส พบร่วมเมื่อความเข้มข้นของเอกทานอลเพิ่มขึ้นจะทำให้ค่ากิจกรรมเอนไซม์เซลลูเลสลดลง ซึ่งตรงข้ามกับค่ากิจกรรมเอนไซม์เบต้ากูลูโคซิเดสที่เพิ่มขึ้นเมื่อความเข้มข้นเอกทานอลสูงขึ้น ในขณะที่การเติมเยสต์ไม่มีผลต่อกิจกรรมการทำงานของเอนไซม์

2.4.2.2 เพนโทชานเสนส (pentosanase)

เอนไซม์เพนโทชานเสนสแบ่งได้ 2 กลุ่ม คือ กลุ่มที่สามารถย่อยสลายพันธะที่อยู่ด้านใน (endo-) และกลุ่มที่สามารถย่อยสลายพันธะที่อยู่ด้านนอก (exo-) สำหรับเอนไซม์ที่ย่อย

สลายเฉพาะพันธะที่อยู่ด้านในมี 2 ชนิด คือ อะราบินาเซ (arabinase) ซึ่งจะย่อยสลายพันธะ β -1,4-D-arabinopyranosyl glycoside ที่เป็นสายตรงสายหลัก (linear backbone) ของอะราเบน และไซลานาเซ (ภาพที่ 2.12) ซึ่งจะย่อยสลายพันธะ β -1,4-D-xylanopyranosyl glycoside ของอะราบิโนไซแลน



ภาพที่ 2.12 โครงสร้างไซลานาเซ

ที่มา: Schmidt *et al.* (1998)

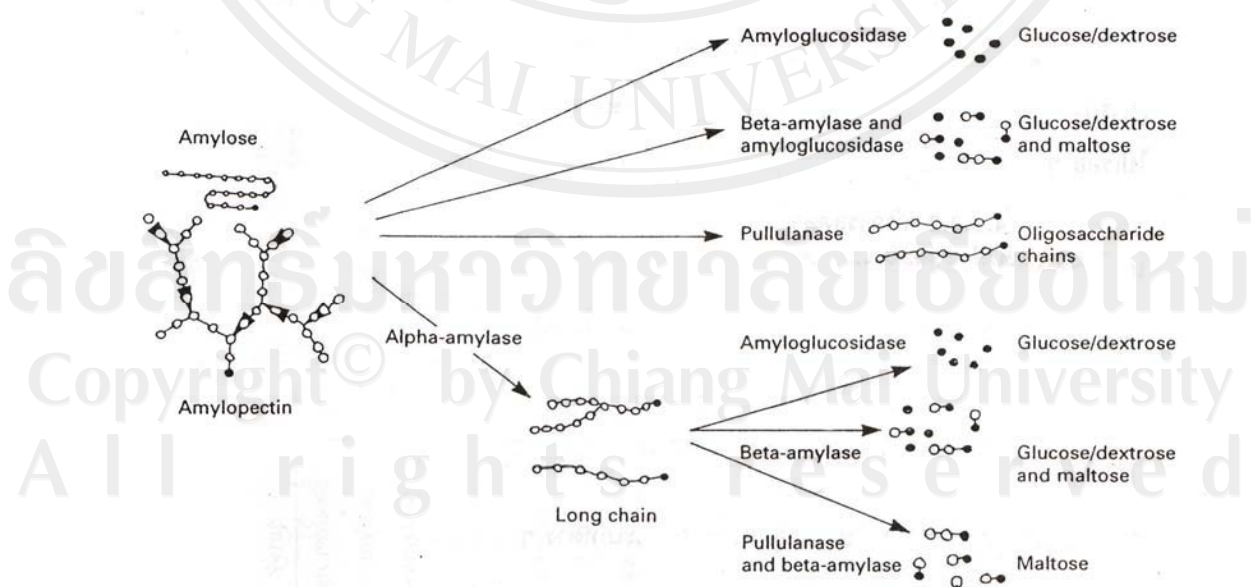
สำหรับเอนไซม์ที่สามารถย่อยสลายเฉพาะพันธะที่อยู่ด้านนอก จากปลายด้านที่ไม่มีหมู่รีดิวซิงค์ของอะราเบน คือ อะราบิโนซิเดส (arabiosidase) ส่วนเอนไซม์ที่ย่อยสลายปลายด้านที่ไม่มีหมู่รีดิวซิงค์ของไซแลน คือ ไซโลซิเดส (xylosidase) ทั้งนี้วิมลพิพัย (2549) รายงานว่า *Bacillus* sp. สายพันธุ์ TW-1 สามารถผลิตเอนไซม์ในกลุ่มไซลานาโนไลติกและเซลลูโลไลติก โดยมีแหล่งอาหารcarbonเป็นเปลือกข้าวโพด ซึ่งสอดคล้องกับรายงานของพรพิมล (2533) ที่ศึกษาการผลิตเอนไซม์ไซลานาโนไลติกที่เรียก *B. circulans* สายพันธุ์ B6 ด้วยสารตั้งต้นไซแลน พนว่างการเติมน้ำตาลไซโลส กากแลคโตส หรือไซแลน สามารถเหนี่ยวนำให้แบคทีเรียผลิตเอนไซม์ไซลานาโนได้ ส่วนในกรณีของอะราบิโนส พนว่างเชื้อแบคทีเรียไม่สามารถนำน้ำตาลอาราบิโนสมาใช้เพื่อการเจริญเติบโตได้แต่สามารถเหนี่ยวนำให้เชื้อแบคทีเรียไม่สามารถนำน้ำตาลอาราบิโนสมาใช้เพื่อการเจริญเติบโตได้ นอกจากนี้ยังมีเอนไซม์เพนโทซานาเซนิดที่ย่อยสลายพันธะที่อยู่ด้านนอก ที่ตัดหน่วงจากสายแฟนง (arobinofuranosyl side chain) ออกจากอะราบิโนไซแลน (นิชิยา, 2549) ทั้งนี้ Boonpayung (2005) ได้ศึกษาทดลองปรับปรุงสตีเบิร์กพาพของเอนไซม์เพนโทซานาเซนิดของ *Aspergillus* sp. FAS 128 พนว่างการใช้สารประกอบกลุ่ม bivalent metal สารประกอบกลุ่ม polyol โปรตีนและกรดอะมิโนยกเว้นน้ำตาลช่วยให้สตีเบิร์กพาพของสารละลายเพนโทซานสูงขึ้น แต่การใช้ยูเรียร่วมกับแมกนีเซียมคลอไรด์จะช่วยเพิ่มสตีเบิร์กพาพและอัตราเร่งปฏิกิริยาของเอนไซม์ด้วย

2.4.2.3 อะมายเลส (amylase)

กล้ามรังค์ และคณะ (2540) รายงานว่าในการย่อยเป็นโดยใช้ออนไซม์อะมายเลส จะต้องทำให้เป็นสูกก่อนเนื่องจากเป็นคิมมีคุณสมบัติไม่ละลายน้ำ (non-dispersible) และอยู่ในรูปแกรนูล (granule) การทำให้เป็นคุณชั้นน้ำร่วมกับการให้ความร้อนจะทำให้พันธะไฮโดรเจนของโครงสร้างอ่อนลง การดูดนำมากขึ้นจนกระทั้งแตกตัว อะมายโลสและอะมายโลเพคตินถูกปลดปล่อยออกมานอกโครงสร้างทำให้การย่อยสลายด้วยเอนไซม์เกิดได้เร็วขึ้น โดยแบ่งเอนไซม์อะมายเลสได้ 2 ประเภทตามตำแหน่งการย่อย คือ

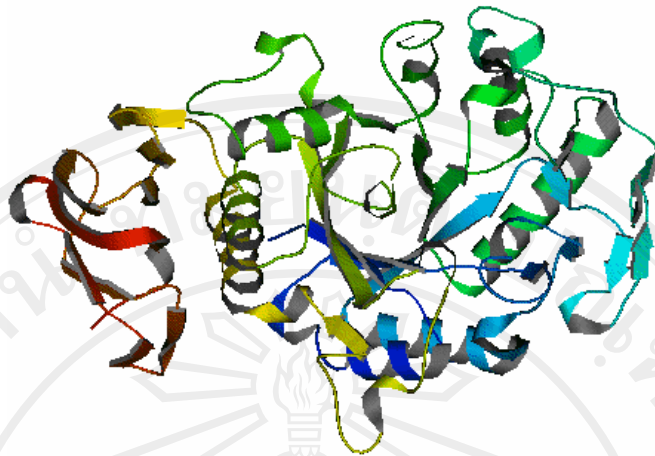
■ เอนโดอะมายเลส (endoamylase)

ย่อยสลายพันธะไกโลโคซิลของเป็นที่ตำแหน่ง α -1,4 ลักษณะการทำงานเป็นการสุ่มตัดภายใน (ภาพที่ 2.13) เอนไซม์ประเภทนี้ คือ อัลฟ่าอะมายเลส (α -amylase) หรือ α -1,4-glucan-4-glucanohydrolase (EC 3.2.1.1) ประกอบด้วย 2 พอดีเปปไทด์ (polypeptide) ที่เชื่อมกันด้วยพันธะไดซัลไฟด์ (disulphide bond) มีโครงสร้างเป็นสาขา (branch structure) (ภาพที่ 2.14) มีบทบาทสำคัญในการย่อยสลายเป็นหัวหรือสารตั้งต้นอื่นๆ เป็นโอลิโกแซคคาไรด์ หรือ ไดแซคคาไรด์ และสามารถย่อยภายในโมเลกุลของสารตั้งต้น (endo-enzyme) (Whistler and Bemiller, 1999) ผลิตภัณฑ์ที่ได้จากการย่อยคือ กลูโคส/mol โอลิมิตเด็กซ์ตرين (limit dextrin) ที่มีหน่วยกลูโคสประมาณ 2 - 6 หน่วย และยังมีโครงสร้างอัลฟ่า (α -configuration) ซึ่งเป็นโครงสร้างรูปเดิม (ปราณี, 2543)



ภาพที่ 2.13 ผลผลิตการย่อยสลายเป็นด้วยอะมายเลสทั้ง 3 ชนิด

ที่มา: ปราณี (2543)



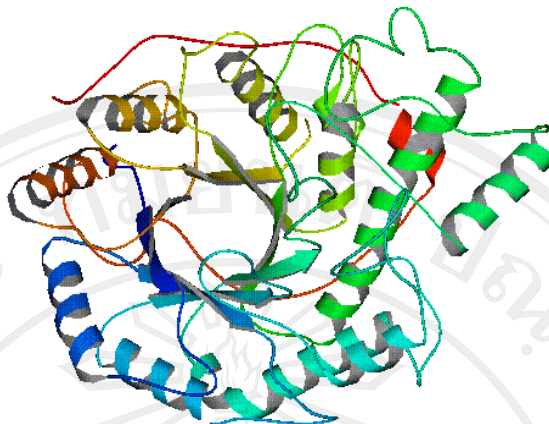
ภาพที่ 2.14 โครงสร้างอัลฟ่าอะไมเลส

ที่มา: Aghajari *et al.* (1998)

▪ เอกโซอะไมเลส (exoamylase)

ย่อยแป้งจากปลาย non-reduced เข้าไป ได้แก่ เบต้าอะไมเลส (β -amylase) และแคมมาอะไมเลส (γ -amylase) ในส่วนเบต้าอะไมเลส หรือ α -1,4-glucan maltohydrolase (EC 3.2.1.2) (ภาพที่ 2.15) มีความเจาะจงต่อพันธะไกโลโคซิลของแป้งที่ α -1,4 ในลักษณะตัดสายพอลิเมอร์อย่างเป็นระเบียบจากปลายสายด้านไม่มีหมู่รีดิวช์เข้าสู่ภายในสายที่ละ 1 หน่วยของмолโടส หรือที่ละ 2 หน่วยของกลูโคสและจะหยุดปฏิกิริยาที่พันธะไกโลโคซิลที่ α -1,6 ได้ผลผลิตจากการย่อยสายแป้งกลูแคน (glucan) และลิมิตเดกซ์ทริน นอกจากนี้ส่วนใหญ่เป็นмолโಟสที่มีโครงรูปต่างไปจากเดิมคือได้ β -configuration

แคมมาอะไมเลส หรือ อะไมโลกลูโคซิดase (amyloglucosidase) หรือ α -1,4-glucan glucohydrolase (EC 3.2.1.3) สามารถย่อยสายพันธะไกโลโคซิลได้หลายพันธะ คือ พันธะ α -1,3 พันธะ α -1,4 และพันธะ α -1,6 ลักษณะตัดสายพอลิเมอร์อย่างเป็นระเบียบจากปลายสายด้านไม่มีหมู่รีดิวช์เข้าสู่ภายในสายที่ละ 1 หน่วยของกลูโคส ผลผลิตที่ได้ส่วนใหญ่เป็นกลูโคสที่มีรูปร่างต่างไปจากเดิม คือได้ β -configuration



ภาพที่ 2.15 โครงสร้างเบต้าอะไมเลส

ที่มา: Mikami *et al.* (1994)

Whistler and Bemiller (1999) ระบุว่าในทางอุตสาหกรรมสามารถผลิตเอนไซม์อะไมเลสได้จากเชื้อรา เช่น *A. niger* และ *A. oryzae* รวมทั้งแบคทีเรีย เช่น *B. cereus* (Hema *et al.*, 2006) และ *Pennicillium fellutanum* (Kathireshan and Manivannan, 2005) แต่เอนไซม์ที่ได้จากแบคทีเรียมีความสามารถในการทนความร้อนสูงจึงนิยมนำมาใช้ใน liquefaction process ในขบวนการย่อยแป้งที่ใช้อุณหภูมินากกว่า 90 องศาเซลเซียส

Yook and Robyt (2002) ได้ศึกษาการใช้เอนไซม์อัลฟ่าอะไมเลสจาก *B. amyloliquefaciens* ร่วมกับเอนไซม์กลูโคอะไมเลสที่ได้จากเชื้อ *Rhizopus niveus* ในการย่อยแป้งข้าวโพดละลายนำสัดส่วนหนึ่งต่อหนึ่งพบว่ามีมอลโตเดกซ์ติน (maltodextrins) หลังการย่อยร้อยละ 71 – 84

2.5 เอทานอล

2.5.1 การผลิตเอทานอลจากกลูโคส

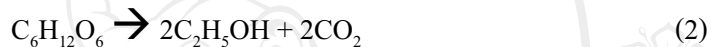
ขั้นตอนการผลิตเอทานอลด้วยเชื้อจุลินทรีย์มีด้วยกันสองช่วง ได้แก่ ช่วงที่มีการเจริญแบบใช้ออกซิเจน (aerobic cultivation) และ ช่วงที่ผลิตเอทานอล (ethanol production) ในช่วงแรกจะให้อาอากาศหรือออกซิเจนอย่างเต็มที่จนกระทั่งค่าอัตราการส่วนการหายใจ (Respiratory Quotient (RQ)) เพิ่มขึ้นจาก 1 เป็น 4 จากนั้นจึงทำการลดอัตราการไหหลีของอากาศลงเพื่อกระตุ้นให้เชื้อจุลินทรีย์ผลิตเอทานอลอันส่งผลให้ค่า RQ เพิ่มขึ้นถึง 12 - 25 (Shin and Rogers, 1996)

2.5.1.1 ช่วงที่จุลินทรีย์มีการเจริญแบบใช้ออกซิเจนเมื่อใช้สารตั้งต้นเป็นกลูโคส



ในทางทฤษฎีค่าสัดส่วนมวลชีวภาพต่อปริมาณกลูโคสที่ใช้ไป ($Y_{X/S}$) คือ 0.4 มวลแห้งของเซลล์ต่อปริมาณกลูโคสมีอัตรากำไรต่ำที่สุดเท่ากับ 0.38 – 0.51 กรณีมวลแห้งของเซลล์ต่อปริมาณกลูโคส

2.5.1.2 ช่วงที่จุลินทรีย์มีการผลิตเอทานอลเมื่อใช้สารตั้งต้นเป็นกลูโคส



Shuler and Kargi (1992) อธิบายว่าค่าสัดส่วนเอทานอลที่ผลิตได้ต่อปริมาณกลูโคสที่ใช้ไป ($Y_{P/S}$) ในทางทฤษฎีเท่ากับ 0.511 กรณีเอทานอลต่อปริมาณกลูโคส แต่ค่าที่วัดได้จริงมีค่าประมาณร้อยละ 90 – 95 ของ $Y_{P/S}$ ในทางทฤษฎี เนื่องจากกลูโคสถูกเปลี่ยนรูปไปเป็นมวลชีวภาพและผลพลอยได้อื่นๆ ในกระบวนการ metabolism เช่น ก๊าซคารบอนไดออกไซด์ หรืออะซิเตต

2.5.2 การคัดเลือกสายพันธุ์จุลินทรีย์ที่มีความสามารถในการผลิตเอทานอล

Dien *et al.* (2003) พบร่วมกับการใช้เทคนิคพันธุ์วิศวกรรมกับเชื้อจุลินทรีย์หลายชนิดเพื่อพัฒนาให้เหมาะสมกับการผลิตเอทานอลในระดับอุตสาหกรรม ซึ่งในการณ์สารตั้งต้นเป็นวัสดุเหลือใช้ทางการเกษตรอย่างลิกโนเซลลูโลส (lignocellulose) อันประกอบไปด้วยคาร์โบไฮเดรตซับซ้อนต่างๆ เชื้อจุลินทรีย์ต้องสามารถนำน้ำตาลหลายชนิดไปใช้ในกระบวนการหมัก โดยเฉพาะกับน้ำตาลชนิดที่ *S. cerevisiae* นำไปใช้ไม่ได้ ตัวอย่างของเบคทีเรียแกรมลบที่ถูกปรับแต่งสายพันธุ์กรรมจันนำไปใช้ในกระบวนการหมักได้คือ *E. coli*, *K. oxytoca*, และ *Z. mobilis* เกณฑ์การคัดเลือกจุลินทรีย์ประสิทธิภาพสูงในการผลิตเอทานอล คือค่าสัดส่วนโดยรวมของเอทานอลที่ผลิตได้ต่อกลูโคสที่ใช้ไป (yield) เนื่องจากค่าใช้จ่ายกว่า 1 ใน 2 ของอุตสาหกรรมผลิตเอทานอลจากมันสำปะหลังคือค่าวัตถุคิด (ปัจฉนสุดา, 2548) ค่า yield ที่สูงแสดงว่าเชื้อจุลินทรีย์สามารถผลิตเอทานอลโดยมีสารผลิตภัณฑ์ข้างเคียงเกิดขึ้นเพียงเล็กน้อย และใช้น้ำตาลกลุ่มหลักอย่างกลูโคส ไซโลส อะราบิโนส กาแลกโตสและmann โนสได้ทั้งหมด ลักษณะสำคัญของเชื้อจุลินทรีย์ที่ใช้ผลิตเอทานอลแสดงในตารางที่ 2.4

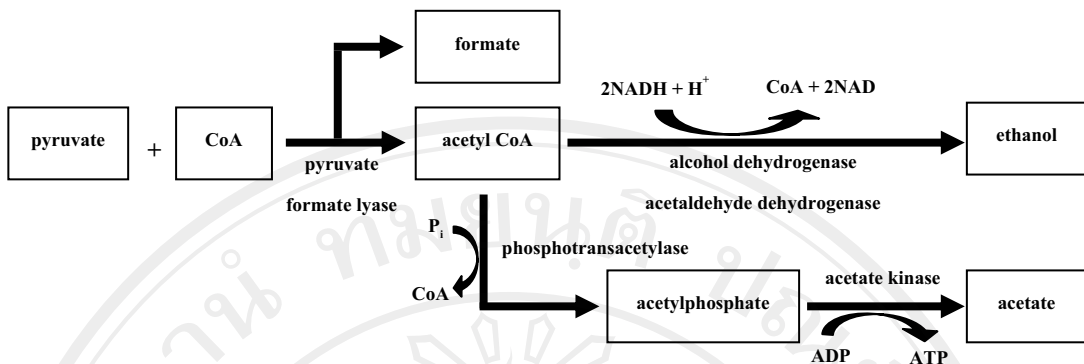
ตารางที่ 2.4 ลักษณะสำคัญของเชื้อจุลินทรีย์ที่นำมาผลิตเอทานอล

คุณลักษณะที่ต้องการ	เกณฑ์ที่ใช้
ค่า yield ของเอทานอล	มากกว่าร้อยละ 90 จากค่าในทางทฤษฎี (0.511)
ความทนทานต่อเอทานอล	มากกว่า 40 กรัมต่อลิตร
ผลิตผลของเอทานอล (ethanol productivity)	มากกว่า 1 กรัมต่อลิตรต่อชั่วโมง
เจริญได้ง่ายและมีความทนทาน	สูตรอาหารเดียวเชื่อที่ราคาไม่แพง
เจริญได้ดีในวัตถุดิบเข้มข้นที่ผ่านการย่อยแล้ว	มีความทนทานต่อสารยับยั้งการเจริญ
สามารถป้องกันเชื้อจุลินทรีย์อื่นๆ เจริญแบบข้น	ค่า pH ต่ำๆ หรืออุณหภูมิสูง

ที่มา: ปรับปรุงจาก Dien *et al.* (2003)

การนำ *E. coli* มาใช้เป็นตัวเร่งปฏิกิริยาชีวภาพ (biocatalyst) ในการผลิตเอทานอลมีข้อได้เปรียบคือสามารถใช้น้ำตาลหลายชนิดในกระบวนการหมัก และไม่ต้องการปัจจัยในการเจริญที่ слับซับซ้อน อย่างไรก็ตามข้อเสียในการใช้แบคทีเรียนิดนิดคือ มีช่วง pH ที่เจริญได้ค่อนข้างแคบ อยู่ในช่วงที่เป็นกลางระหว่าง 6.0 – 8.0 และมีความทนทานน้อยกว่าเยสต์ นอกจากนี้ยังไม่พบข้อมูลที่ยืนยันความปลอดภัยจากการใช้เซลล์ของ *E. coli* ที่เหลือจากการหมักไปเป็นส่วนผสมของอาหาร เลี้ยงสัตว์ ซึ่งล้วนเป็นอุปสรรคที่ทำให้การใช้ *E. coli* เพื่อผลิตเอทานอลไม่เป็นที่นิยม Dien *et al.* (2003) ระบุว่าในกระบวนการหมัก *E. coli* จะเปลี่ยนน้ำตาลไปเป็นเอทานอลและกรดอินทรีย์โดยใช้ออนไซม์ไพรูเวตฟอร์เมตไลอส (pyruvate formate lyase, PFL) เปลี่ยนไพรูเวต (pyruvate) ให้เป็นเอทานอล (ภาพที่ 2.16) การผลิตเอทานอลในลักษณะนี้ต้องใช้ $\text{NADH} + \text{H}^+$ สูตร 1 โมเลกุล ต่อการผลิตเอทานอล 1 โมเลกุล (ผลิต $\text{NADH} + \text{H}^+$ หนึ่งโมเลกุลในกระบวนการไกลโคลไลซิสหรือ Embden-Meyerhoff-Parnas (EMP) pathway เพื่อผลิตไพรูเวตหนึ่งโมเลกุล และใช้ $\text{NADH} + \text{H}^+$ สองโมเลกุลในการเปลี่ยนไพรูเวตหนึ่งโมเลกุลให้เป็นเอทานอล) เพื่อให้เกิดสมดุลของ $\text{NADH} + \text{H}^+$ จึงต้องมีการผลิตกรดอะซิติก (acetic acid) และกรดซัคชินิก (succinic acid) ขึ้น ในขณะที่เยสต์และ *Z. mobilis* ผลิตแต่เอทานอล (homoethanol fermentative) เพราะใช้ออนไซม์ไพรูเวตคีรา-

บออกซิเลส (pyruvate decarboxylase, PDC) เปลี่ยนไพรูเวตเป็นอะเซตัลดีไฮด์ (acetaldehyde) และ carbонไดออกไซด์ จากนั้นจึงใช้ออนไซม์แอลกออลดีไฮด์โคโรนีเนส (ADH) เปลี่ยนอะเซตัลดีไฮด์ไปเป็นเอทานอลอีกดีหนึ่ง ซึ่งในปฏิกิริยาหลังนี้ต้องใช้ $\text{NADH} + \text{H}^+$ หนึ่งโมเลกุล ดังนั้นการผลิตเอทานอลของเยสต์และ *Z. mobilis* จึงเป็นการผลิตที่เกิดสมดุลของ $\text{NADH} + \text{H}^+$



ภาพที่ 2.16 การผลิตเอทานอลจากไพรูเวตโดยใช้เอนไซม์ไพรูเวตฟอร์เมต์ไอลีอส

ที่มา: Hemschemeier and Happe (2004)

Z. mobilis เป็นจุลินทรีย์แกรมลบที่มีคุณสมบัติเด่นหลายประการที่เหมาะสมต่อการผลิตเอทานอลเพราะนอกจากจะใช้ homoethanol fermentation pathway แล้ว ยังทนทานต่อเอทานอลความเข้มข้นสูงได้ถึง 120 กรัมต่อลิตร และเมื่อเปรียบเทียบกับ *S. cerevisiae* แล้ว *Z. mobilis* มีค่า yield ในผลิตเอทานอลสูงกว่า yeast ร้อยละ 5 - 10 เมื่อใช้สารตั้งต้นคือกลูโคส และมีค่าผลิตผลของเอทานอล (ethanol productivity) สูงกว่า 2.5 เท่าอีกด้วย (Rogers *et al.*, 1982) นอกจากนี้ *Z. mobilis* ยังเป็นที่ยอมรับกันโดยทั่วไปว่ามีความปลอดภัย (GRAS – Generally Recognized As Safe) อย่างไรก็ตาม *S. cerevisiae* ยังเป็นที่นิยมในโรงงานอุตสาหกรรม เพราะมีความทนทาน แม้ว่า Doelle *et al.* (1989) และ Millichip and Doelle (1989) จะประสบความสำเร็จในการทดลองใช้ *Z. mobilis* เพื่อผลิตเอทานอลในระดับอุตสาหกรรมก็ตาม เหตุผลที่ *Z. mobilis* มีค่า yield ในผลิตเอทานอลที่สูง เนื่องจากเป็นจุลินทรีย์เพียงกลุ่มเดียวที่ใช้กลูโคสคัดวิธีกระบวนการแบบไม่ใช้ออกซิเจน โดยผ่านกระบวนการ Entner-Doudoroff (ED) pathway ทำให้สร้าง ATP น้อยกว่ากระบวนการไกโอลโคไซส์สองเท่า มวลชีวภาพ (biomass) จึงเกิดขึ้นน้อยกว่าแต่ผลิตเอทานอลได้มากขึ้น โดย *Z. mobilis* ใช้น้ำตาลได้สามชนิดคือ กลูโคส ฟรุกโตสและซูโคส (Dien *et al.*, 2003)

K. oxytoca เป็นแบคทีเรียที่เจริญในเยื่อไม้ต่างๆ สามารถเจริญได้ในช่วง pH ต่ำถึง 5.0 และอุณหภูมิสูงถึง 35 องศาเซลเซียส สามารถใช้น้ำตาลโมเลกุลเดียวพากเพนโทส (pentose) และ เอกโซส (hexose) หลากหลายชนิด โดยใช้ PFL pathway ในการผลิตเอทานอล รวมถึงกรดอินทรีย์และ ผลิตภัณฑ์หลายชนิด

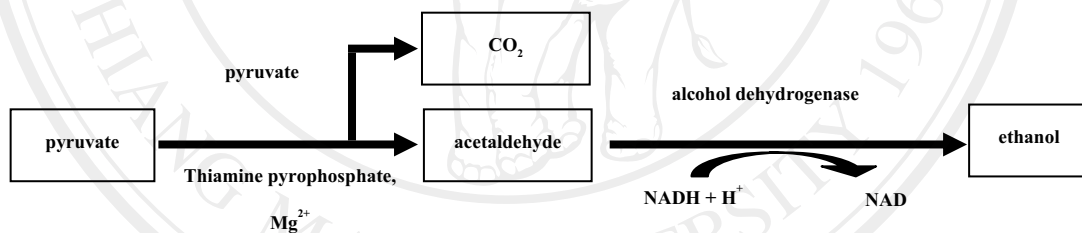
อริสสา (2546) ได้ศึกษาสภาพต่างๆ ที่เหมาะสมในการหมักน้ำตาลเพื่อผลิตเอทานอล โดยการใช้เชื้อยีสต์ผสมระหว่าง *S. cerevisiae* TISTR 5019 ในการหมักน้ำตาลกลูโคส และ *C. tropicalis* TISTR 5045 在การหมักน้ำตาลไชโโลส พนวจว่าสัดส่วนน้ำตาลไชโโลสต่อกลูโคสที่

เหมาะสมคือ 1 ต่อ 8 และสัดส่วนของเชื้อ yeast ผสมระหว่าง *S. cerevisiae* TISTR 5019 ต่อ *C. tropicalis* TISTR 5045 ที่เหมาะสมคือ 1 ต่อ 1 ส่วนส่วนภาวะที่เหมาะสมในการผลิตเอทานอลคือ สภาวะที่มีร่องการกรวนคือ 50 รอบต่อนาที ที่อุณหภูมิ 30 องศาเซลเซียส

รักชนก (2539) ศึกษาปริมาณแป้งมันสำปะหลัง ชนิดและปริมาณของเหลวในโตรเจน ความเป็นกรดค่าคงเริ่มต้น และความเร็วของที่เหมาะสมต่อการผลิตเอทานอลโดยอาศัยจุลินทรีย์ 2 ชนิด ร่วมกันทำงาน พบว่าการอยู่ร่วมกันของ *S. cerevisiae* ATCC 4098 และ *A. oryzae* ATCC 11491 ในรูปการตึงเซลล์ในเจลแคลเซียมอัลginat สามารถผลิตเอทานอลสูงสุดที่ 59 กรัมต่อลิตร ในเวลา 36 ชั่วโมง ที่ความเร็วของการกรวน 250 รอบต่อนาที ที่ pH 6 ในสภาวะที่มีแป้งมัน สำปะหลังร้อยละ 2 และสารสกัดจากเยลล์ร้อยละ 1

2.6 เอนไซม์ไพรูเวตดีكار์บอซิเลส

มวลเชิงภาพที่ได้จากจุลินทรีย์ชนิดผลิตเอทานอลประกอบด้วยเอนไซม์ไพรูเวตดีคาร์บอซิเลส ที่มีบทบาทสำคัญในการผลิตเอทิลแอลกอฮอล์ตามผังสมการเคมีที่แสดงไว้ในภาพที่ 2.17



ภาพที่ 2.17 การผลิตเอทานอลจากไพรูเวตโดยใช้เอนไซม์ไพรูเวตดีคาร์บอซิเลส

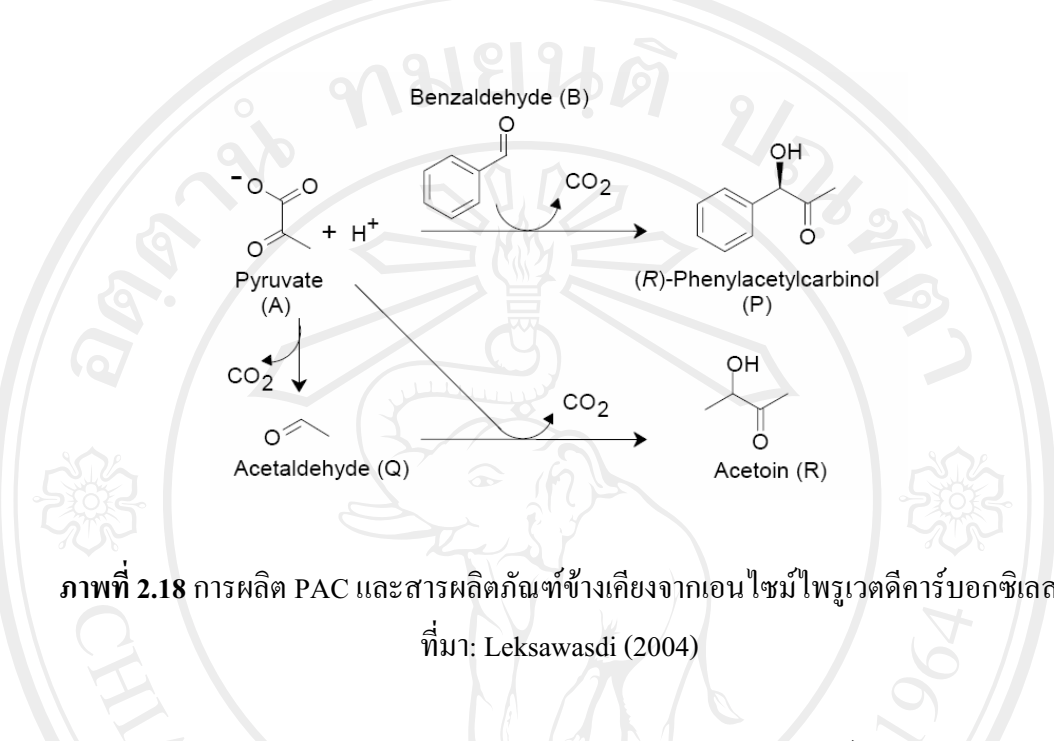
ที่มา: Leksawasdi (2004)

Rosche *et al.* (2005) รายงานว่าเอนไซม์ไพรูเวตดีคาร์บอซิเลสจากเชื้อ *C. utilis* ในสภาวะที่มีไพรูเวตมีเสถียรภาพต่อบนชาลดีไฮด์มากกว่าสภาวะที่ไม่มีไพรูเวต ซึ่งในสภาวะที่ไม่มีไพรูเวต เอนไซม์ไพรูเวตดีคาร์บอซิเลสจะถูกบนชาลดีไฮด์ขุดการทำงานโดยสมบูรณ์ภายใน 30 นาที

2.7 อาร์-ฟีนิลแอซีติลคาร์บินอล (*R*-phenylacetylcarbinol)

กระบวนการใบโอทราโนส์ฟอร์เมชันที่มีสารตั้งต้นคือไพรูเวตและบนชาลดีไฮด์ ในสภาวะที่มีเอนไซม์ไพรูเวตดีคาร์บอซิเลสเป็นตัวเร่งปฏิกิริยา สามารถผลิตสารอาร์-ฟีนิลแอซีติลคาร์บินอล (*R*-phenylacetylcarbinol, PAC) ซึ่งใช้เป็นสารเคมีตั้งต้น (precursor) ในการผลิตยาเอฟิดринสำหรับ

แก๊สไฮดรอเจนและซูโดเอฟิคринสำหรับบรรเทาอาการคัดจมูกเนื่องจากไข้หวัด (ภาพที่ 2.18) ทั้งนี้ ไฟรูเวตอาจเปลี่ยนเป็นสารผลิตภัณฑ์ข้างเคียง (by-product) คือ อะเซตาลดีไฮด์และอะเซโตอินได้ด้วย



ภาพที่ 2.18 การผลิต PAC และสารผลิตภัณฑ์ข้างเคียงจากเอนไซม์ไฟรูเวตดีكار์บอซิเลส

ที่มา: Leksawasdi (2004)

Rosche *et al.* (2002) ศึกษากระบวนการผลิต PAC ด้วยเอนไซม์ในระบบเบนชาลดีไฮด์ อีมัลชัน พบร่วมกับสารต้านออกไซด์ความเข้มข้น 400 มิลลิโมลาร์ และไฟรูเวต ความเข้มข้น 600 มิลลิโมลาร์ เมื่อเติมเอนไซม์ไฟรูเวตดีคาร์บอซิเลสจากเชื้อ *R. javanicus* ที่มีกิจกรรมเอนไซม์ 7.4 หน่วยต่อมิลลิลิตร สามารถผลิต PAC ได้ที่ระดับ 50.6 กรัมต่อลิตร หรือ 337 มิลลิโมลาร์ ภายในเวลา 29 ชั่วโมง ณ อุณหภูมิ 6 องศาเซลเซียส ทั้งนี้การลดอุณหภูมิจาก 23 องศาเซลเซียส เหลือ 6 องศาเซลเซียส ส่งผลให้อัตราการเกิดปฏิกิริยาเริ่มต้นลดลง แต่จะทำให้ความเข้มข้น PAC หลังปฏิกิริยาเพิ่มขึ้น

Rosche *et al.* (2005) ศึกษากระบวนการใบโถทราบฟอร์เมชันของเบนชาลดีไฮด์และไฟรูเวตโดยมีเอนไซม์ไฟรูเวตดีคาร์บอซิเลสจากเชื้อ *C. utilis* ในสภาวะที่มีความเข้มข้นของ MOPS ต่ำที่ระดับ 20 มิลลิโมลาร์ พบร่วมกับเอนไซม์ไฟรูเวตดีคาร์บอซิเลสมีคริ่งชีวิตที่ 138 ชั่วโมง ที่อุณหภูมิ 6 องศาเซลเซียส อย่างไรก็ตามเบนชาลดีไฮด์ที่ความเข้มข้นสูงประมาณ 400 มิลลิโมลาร์ ส่งผลต่อการยับยั้งการทำงานของเอนไซม์ และการเติมกลีเซอรอลที่ระดับ 2 มิลลิลิตร ไม่ได้ช่วยป้องกันเอนไซม์จากการถูกยับยั้งการทำงาน แต่ทำให้อัตราการเกิดปฏิกิริยาเริ่มต้นเพิ่มขึ้นร้อยละ 50 และเพิ่มระดับ PAC หลังปฏิกิริยาจากระดับ 40 เป็น 51 กรัมต่อลิตร

Sanford *et al.* (2005) ศึกษาการผลิต PAC ด้วยระบบสองเฟสระหว่างชั้นน้ำและชั้นอินทรีย์ โดยใช้อ่อนไชม์ไพรูเวตดีคาร์บอนออกซิเลสจาก *C. utilis* พบร่วมชั้นอินทรีย์ที่เป็นอุกกาบาตอลมีความเหมาะสมที่สุดเนื่องจากสารตั้งต้นเบนชาลดีไฮด์ที่เป็นพิษต่ออ่อนไชม์ สามารถผ่านเข้าสู่ชั้นน้ำที่ความเข้มข้นต่ำกว่า 50 มิลลิโมลาร์ ทั้งนี้ในระบบที่มีปริมาณชั้นน้ำและชั้นอินทรีย์ในสัดส่วนหนึ่งต่อหนึ่ง เมื่อเติมอ่อนไชม์ไพรูเวตดีคาร์บอนออกซิเลสที่มีกิจกรรมการโนไโอลเกสที่ระดับ 8.5 หน่วยต่อมิลลิลิตร พบการผลิต PAC ที่ระดับ 141 กรัมต่อลิตร หรือ 937 มิลลิโมลาร์ ในชั้นอุกกาบาตอล และ 19 กรัมต่อลิตร หรือ 127 มิลลิโมลาร์ ในชั้นน้ำ ภายในเวลา 49 ชั่วโมง อย่างไรก็ตามเมื่อลดปริมาณอ่อนไชม์ไพรูเวตดีคาร์บอนออกซิเลสลงเหลือ 0.9 หน่วยต่อมิลลิลิตร พบการผลิต PAC ที่ระดับ 102 กรัมต่อลิตร ในชั้นอุกกาบาตอล และ 13 กรัมต่อลิตร ในชั้นน้ำ ที่เวลาเดียวกัน

พูนสิริและคณะ (2551) ทำการเพาะเลี้ยงเชื้อจุลินทรีย์ด้วยสารสกัดลำไยอบแห้งพสมแหล่งอาหารในโตรเจนเข้มข้นจากแหล่งอื่น ให้มีความเข้มข้นน้ำตาลซูโครสที่ระดับ 63.5 – 64.4 กรัมต่อลิตร เมื่อนำมาวิเคราะห์ของจุลินทรีย์ไปทำใบโอทرانฟอร์เมชั่นในระบบเบนชาลดีไฮด์อีมัลชั่น เป็นเวลา 8 ชั่วโมง ในสภาพตั้งนิ่ง ที่มีฟอสเฟตเข้มข้น 900 มิลลิโมลาร์ พบร่องจุลินทรีย์ *S. cerevisiae* TISTR 5606 สามารถผลิต PAC ได้สูงสุดที่ระดับความเข้มข้น 1.19 ± 0.01 มิลลิโมลาร์ ส่วนในสภาพที่ไม่มีฟอสเฟต *C. utilis* TISTR 5198 สามารถผลิต PAC ได้สูงสุดที่ระดับความเข้มข้น 2.73 ± 0.18 มิลลิโมลาร์

พรรรณทิวาและคณะ (2551) ศึกษาเพาะเลี้ยงจุลินทรีย์ด้วยสารสกัดลำไยอบแห้งพสมกากน้ำตาลเข้มข้นสัดส่วนหนึ่งต่อหนึ่ง ที่มีความเข้มข้นน้ำตาลซูโครส 63.5 – 64.4 กรัมต่อลิตร เมื่อนำมาวิเคราะห์ของจุลินทรีย์ไปทำใบโอทرانฟอร์เมชั่นแบบสองเฟสเป็นเวลา 24 ชั่วโมง ในสภาพตั้งนิ่ง พบร่องจุลินทรีย์ที่มีความสามารถผลิต PAC คือ *S. cerevisiae* TISTR 5020 (4.72 มิลลิโมลาร์) *S. cerevisiae* TISTR 5606 (3.72 มิลลิโมลาร์) *C. utilis* TISTR 5198 (2.98 มิลลิโมลาร์) และ *Z. mobilis* TISTR 550 (0.86 มิลลิโมลาร์)